

# РАСПРЕДЕЛЕНИЕ НАПРЯЖЕННОСТЕЙ МАГНИТНЫХ ПОЛЕЙ ПОПЕРЕК ТЕНИ ПЯТЕН ПО ЛИНИЯМ ПОГЛОЩЕНИЯ Fe I, Zr I И Y I

М. Дж. Гусейнов

Измерены напряженности магнитных полей  $H$  поперек тени большого пятна гр. № 361 (нумерация по «Солнечным данным») по пяти линиям поглощения с различной чувствительностью к температуре. Зеемановские спектрограммы в двух диапазонах длин волн ( $\lambda 6125$ — $6175$  Å и  $\lambda 6410$ — $6460$  Å) получены на МБСТ Крымской астрофизической обсерватории АН СССР 30, 31.10 и 01.11 1972 г. Сравниваются распределения значений  $H$  поперек тени пятен, определенных по простым триплетам Зеемана Zr I  $\lambda 6127,5$  Å,  $\lambda 6143,2$  Å, Fe I  $\lambda 6173,3$  Å,  $\lambda 6420,0$  Å и Y I  $\lambda 6435,0$  Å, которые в спектре ядра имеют приблизительно одинаковую роуландовскую интенсивность.

Показано, что: 1) напряженности магнитных полей  $H$ , измеренные по двум линиям: нейтрального циркония, и их распределения поперек тени пятен одинаковы; 2) места максимумов магнитного поля в ядре пятен по спектральным линиям разных элементов совпадают; 3) напряженности магнитных полей  $H$  по линиям Fe I на 200—400 Гс меньше, чем по Zr I и Y I.

Предполагается, что: а) линии нейтрального железа образуются в сплошном темном фоне, а линии циркония и иттрия — в более темных узлах тени пятен; б) все пять линий поглощения возникают примерно на одних и тех же глубинах. Делается заключение о том, что в более темных узлах тени напряженность магнитного поля  $H$  в среднем на 300 Гс больше, чем в окружающем сплошном фоне ядра пятен.

THE DISTRIBUTION OF MAGNETIC FIELD STRENGTH ACROSS THE SUNSPOT UMBRA BASED ON Fe I, Zr I AND Y I ABSORPTION LINES, by M. J. Huseyenov.—The magnetic field strengths  $H$  across the sunspot umbra N 361 (numbering according to «Solar data») are measured observing five different temperature-sensitive absorption lines. Zeeman spectrograms in two wavelength ranges ( $\lambda 6125$ — $6175$  Å and  $\lambda 6410$ — $6460$  Å) were obtained at Small tower solar telescope of the Crimean observatory in October 30, 31 and November 1, 1972. The distributions of  $H$  across the sunspot umbra determined with simple Zeeman triplets Zr I  $\lambda 6127.5$  Å,  $\lambda 6143.2$  Å, Fe I  $\lambda 6173.3$  Å,  $\lambda 6420.0$  Å. and Y I  $\lambda 6435.0$  Å are compared, showing in the umbra spectrum approximately the same Rouland intensity.

It has been found, that: 1) the magnetic field strengths  $H$ , measured with two lines of Zr I and their distribution across the sunspot umbra are the same; 2) the places of peaks of magnetic field in the sunspot umbra according to spectral lines of different elements coincide; 3) magnetic fields strength  $H$  according to Fe I-lines are 200—400 Gs lower than in Zr I and Y I — lines.

We suppose, that: a) the lines of neutral iron are formed in a continuous dark background, the Zr I and Y I-lines — in darker umbral knots; b) all five absorption lines are formed at nearly the same depths. It has been concluded, that in darker umbral knots the magnetic field strength  $H$  is, on average, 300 gauss larger than in the continuous dark background.

Ранее в [1] сравнивались распределения напряженностей магнитных полей поперек тени солнечных пятен, наблюденные по линиям поглощения Fe I  $\lambda 6302,5$  Å, V I  $\lambda 6285,2$  Å и  $\lambda 6296,5$  Å. Первая из них, как известно, простой триплет Зеемана с большим расщеплением, а последние две линии в магнитном поле показывают сложную картину расщепления. Так как измерения магнитных полей по простым зеемановским триплетам более точны и надежны, мы 30, 31.10 и 01.11 1972 г. на МБСТ Крымской астрофизической обсерватории АН СССР провели специальные наблюдения спектров большого пятна гр. № 361 (нумерация по бюллетеню «Солнечные данные») в двух других выбранных областях спектра: 1)  $\lambda 6125$ — $6175$  Å и 2)  $\lambda 6410$ — $6460$  Å. В первом диапазоне длин волн для определения напряженности магнитного поля в тени пятен удобны линии поглощения Zr I  $\lambda 6127,475$  Å,  $\lambda 6143,183$  Å

и Fe I  $\lambda$ 6173,341 Å, а во втором — линии Y I  $\lambda$ 6435,049 Å и Fe I  $\lambda$ 6419,956 Å. Материал наблюдения и данные о спектральных линиях подробно описаны в [2].

Здесь лишь коротко отметим, что все пять линий поглощения, во-первых, являются простыми триплетами Зеемана с достаточно хорошими расщеплениями; во-вторых, они в спектре пятен имеют примерно одинаковую роуландовскую интенсивность, но обладают различной чувствительностью к температуре. Спектральные линии нейтрального циркония и иттрия «чисто теневые», т. е. они чрезвычайно слабы в спектре фотосферы, но значительно усиливаются в спектрах тени пятна и звезд типа K, а у звезд типа M и S становятся очень хорошо выраженным, сильными [3]. Как видно из таблицы,

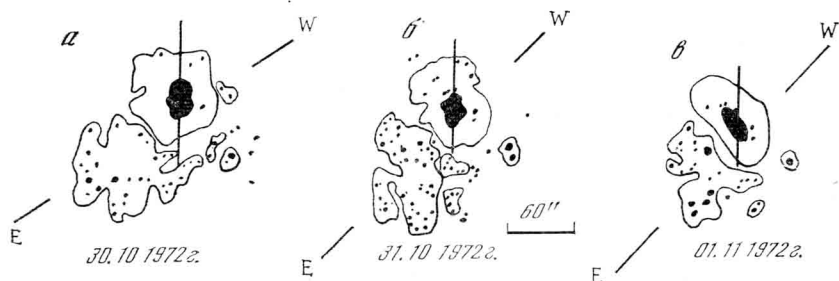


Рис. 1. Зарисовки гр. № 361 (нумерация по «Солнечным данным»)

приведенной в [1], потенциалы возбуждения нижнего уровня линий поглощения нейтрального железа существенно больше, чем линий циркония и иттрия. Кроме того, линии Fe I относятся к фраунгоферовым линиям температурных классов III и V со средним и высоким энергетическими уровнями, тогда как линии Zr I и Y I являются типичными представителями линий температурного класса I с низким энергетическим уровнем [4].

Учитывая изложенное выше, как и в [1], можно предполагать, что основной вклад в излучение в линиях нейтрального железа в спектре тени пятен вносит сплошной темный фон, а линии циркония и иттрия образуются в более темных узлах тени. Таким образом, проводя наблюдение магнитных полей тени пятен одновременно в нескольких линиях поглощения с различной чувствительностью к температуре, мы получаем возможность сравнивать распределения напряженностей магнитных полей в сплошном темном фоне тени и в более темных узлах ее.

На рис. 1 приведены зарисовки гр. № 361 в дни наблюдений, где вертикальной жирной прямой указано направление щели. Как видно, форма тени большого пятна существенно изменялась изо дня в день, особенно сильно менялась ширина тени, попадающая на щель спектрографа.

Во время наблюдений перед щелью ставился круговой анализатор с многополосной поляризационной мозаикой. Ширина каждой полоски мозаики соответствует 3" на поверхности Солнца. Так как для определения  $H$  мы измеряем расстояние  $\Delta\lambda_H$  между коротко- и длинноволновыми  $\sigma$ -компонентами линий поглощения, которые в случае продольного поля видны поочередно в соседних полосках спектра, то пространственное разрешение не лучше чем 3" (отметим, что во время наблюдений дрожания изображений также составляли примерно 3—4").

Напряженности магнитных полей вычислялись по известной формуле

$$H = \frac{\Delta\lambda_H}{9,34 \cdot 10^{-5} g \lambda_0^2},$$

где  $g$  — фактор Ланда зеемановского расщепления,  $\lambda_0$  — длина волны линии поглощения,  $\Delta\lambda_H$  — расстояния между  $\sigma_r$  и  $\sigma_v$ -компонентами. Они изменились на микроскопе МИР-42. Для каждого места определения  $H$  измерения  $\Delta\lambda_H$  повторялись пять раз и находились среднеарифметические величины. Среднеквадратичные ошибки наведения нити измерительного микроскопа на

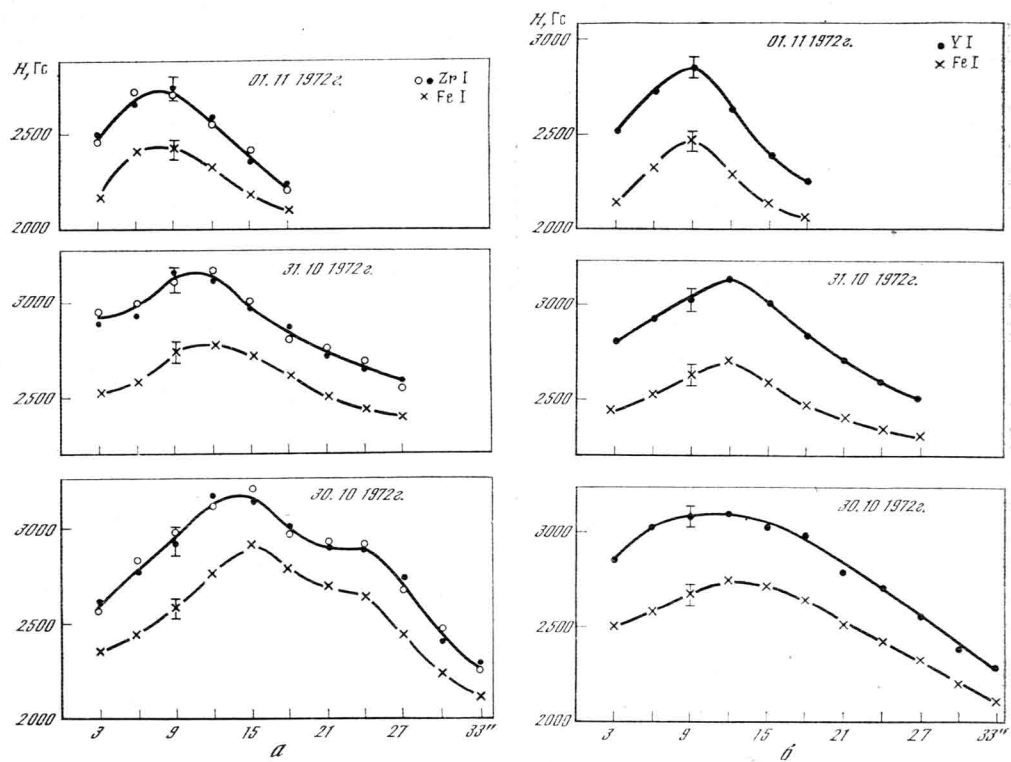


Рис. 2. Распределение напряженностей магнитных полей  $H$  поперек тени пятен  
а — по линиям Zr I и Fe I, б — по линиям Y I и Fe I

$\sigma$ -компоненты для каждой точки определения  $H$  составляют: для линии Fe I  $\lambda 6173,3 \text{ \AA} \pm (25-30) \text{ Гс}$ , для всех остальных линий  $\pm (40-50) \text{ Гс}$ .

На рис. 2 приведены кривые распределения напряженностей магнитных полей поперек тени большого пятна, наблюденного 30, 31.10 и 01.11 1972 г. По оси абсцисс отложено расстояние  $r$  от одного и того же края тени пятна, по оси ординат — величина напряженности магнитного поля  $H$ .

Как хорошо видно из рис. 2, а, линии поглощения циркония показывают примерно одинаковое распределение напряженности магнитного поля  $H$  поперек тени пятна (мы для двух линий Zr I проводим одну сплошную кривую). Штриховой кривой проведено распределение  $H$  по линии Fe I  $\lambda 6173,3 \text{ \AA}$ . Видно, что напряженность поля  $H$  в линиях Zr I на протяжении всей тени пятна на 200—300 Гс больше, чем по линии Fe I. Заметна также тенденция роста этой разницы в направлении, где напряженность поля  $H$  максимальна (в направлении к центру тени).

На рис. 2, б приведены распределения  $H$  поперек тени тех же пятен по линиям поглощения Y I  $\lambda 6435,0 \text{ \AA}$  и Fe I  $\lambda 6420,0 \text{ \AA}$ . Здесь также напряженность поля  $H$  по линии железа оказывается меньше, чем по «чисто теневой» линии иттрия, но разница полей составляет 300—400 Гс.

Необходимо отметить, что при сравнении напряженностей магнитных полей  $H$  по различным линиям поглощения могут иметь место три основных источника систематических ошибок: 1) различие в блендинировании  $\sigma$ - и центрального компонента расщепления; 2) различие в глубинах образования линий поглощения; 3) неточности в факторах Ланде используемых линий.

Рассмотрим первый из них. В нашем случае все линии поглощения имеют достаточно большое магнитное расщепление: во-первых, для них факторы Ланде большие, во-вторых, наблюдалось крупное пятно с сильным магнитным полем. Поэтому на поляризационных спектрограммах тени этого пятна у всех изучаемых линий поглощения зеемановские компоненты расщепления полностью разделены. Только для линии Fe I  $\lambda 6420,0 \text{ \AA}$  может иметь место

слабое блендинование между  $\sigma$ - и центральной компонентами. Отметим, что слабые центральные компоненты линий Fe I  $\lambda 6173,3 \text{ \AA}$  и  $\lambda 6420,0 \text{ \AA}$  в наших наблюдениях, по-видимому, связаны в основном с рассеянным светом. Дело в том, что в дни наблюдений гр. № 361 была недалеко от центрального меридиана (относительное расстояние от центра диска Солнца  $r = 0,3 \div 0,6$ ) и магнитное поле в тени преимущественно продольное. Это подтверждается отсутствием центральной компоненты в «чисто теневых» линиях Zr I и Y I.

Трудной задачей является определение глубин образования линий поглощения в пятне. Мы здесь, основываясь только на примерной одинаковости роуландовской интенсивности наблюдаемых линий поглощения, предполагаем, что они возникают на очень близких глубинах в атмосфере тени пятна, хотя не исключено их существенное различие. Следовательно, некоторая часть разницы в напряженностях магнитных полей  $H$  в тени пятен по линиям поглощения разных элементов, возможно, связана с различием глубин их образования.

Наконец, о возможном влиянии неточностей в значениях факторов Ланде. Согласно [5] лабораторные величины множителей Ланде для линий циркония  $\lambda 6127,5 \text{ \AA}$  на 1,2%,  $\lambda 6143,2 \text{ \AA}$  на 1,4%, а для Fe I  $\lambda 6420,0 \text{ \AA}$  на 3,1% меньше, чем их теоретические значения при  $L - S$ -связи. Если принять лабораторные величины факторов Ланде для исследуемых линий поглощения, различие  $H$  между полями, измеренными по линиям Zr I и Fe I, несколько увеличится, но разность  $H$  между магнитными полями по линиям Y I и Fe I, наоборот, уменьшится. Тогда средняя разность напряженностей магнитных полей  $H$  между полями в наиболее темных узлах тени и в окружающем сплошном темном фоне ее составит примерно 300 Гс.

Таким образом, можно заключить, что: 1) напряженности магнитных полей  $H$ , измеренные по двум линиям нейтрального циркония, и их распределения поперек тени пятен одинаковы; 2) места максимумов магнитного поля в ядре пятен по спектральным линиям разных элементов совпадают; 3) в более темных узлах тени напряженность магнитного поля  $H$  в среднем на 300 Гс больше, чем в окружающем сплошном фоне ядра пятен.

Автор благодарен А. Б. Северному за важные критические замечания, Н. А. Фроловой и В. В. Гапееву за подготовку иллюстраций.

Ноябрь 1983 г.

#### Л и т е р а т у р а

1. Гусейнов М. Дж., Русских В. И. Сравнение распределений напряженности магнитного поля поперек тени пятен по линиям поглощения с различной чувствительностью к температуре.— Изв. Крым. астрофиз. обс., 1983, т. 68, с. 31—36.
2. Гусейнов М. Дж. Изучение магнитных полей в тени солнечных пятен по фраунгоферовым линиям с различной чувствительностью к температуре.— Изв. Крым. астрофиз. обс., 1974, т. 50, с. 168—174.
3. Меррил П. Линии химических элементов в астрономических спектрах. М.: Изд-во иностр. лит., 1959.
4. St. John C. E., Moore C. E., Ware L. M. et al. Revision of Rowlands' preliminary table. Carnegie Inst. Wash. Publ., 1928, N 36.
5. Гусейнов М. Дж. Факторы магнитного расщепления для выбранных спектральных линий Солнца в диапазоне длин волн  $\lambda 4000—6750 \text{ \AA}$ , вычисленные по лабораторным значениям множителей Ланде комбинирующихся термов.— Изв. Крым. астрофиз. обс., 1985, т. 70.